链接:www.china-nengyuan.com/tech/177208.html

来源:铁道建筑

# 干密度对生物质垃圾炉渣力学特性的影响

张攀,徐永福

(上海交通大学船舶海洋与建筑工程学院,上海200240)

摘要:生物质垃圾炉渣是一种典型的颗粒状材料,可以代替骨料作为路基垫层材料。为了研究干密度对炉渣力学特性的影响规律,对干密度为0.9, 1.0, 1.1g / cm $^3$ 

。的炉渣试样进行三轴固结排水剪切试验。试验结果表明:炉渣力学特性与应力状态和干密度密切相关;松散炉渣的 应力.应变曲线呈现硬化特性,紧密炉渣的应力-

应变曲线软化特征明显;炉渣的初始弹性模量、黏聚力、内摩擦角均随着干密度的提高而增大。

随着经济的发展,城市垃圾日益增多。其主要处理方式为填埋、焚烧、堆肥等。由于成本、技术等原因,中国仍然主要采用焚烧方式。该方法需重点考虑对环境的影响,尽量实现废物再利用。固体垃圾焚烧的主要产物为粉煤灰和炉渣。粉煤灰已被广泛应用于混凝土和煤矿充填,炉渣可作为工业陶瓷中的催化烧结剂,在土木工程中可替代骨料作为路基填筑材料。

国内外对于炉渣的研究取得了较多的成果。XIE等[1]分析了炉渣的物理化学特性,评估了其作为路基材料的可行性。LE等[2]通过三轴固结排水试验测定了炉渣的黏聚力、内摩擦角、变形模量等基本力学参数。冯兴波等[3]对城市垃圾炉渣进行了无侧限抗压强度试验,分析了不同干密度试样在不同龄期下的强度特性。徐永福[4]通过三轴试验研究了生活垃圾炉渣在饱和状态下的强度特性,并提出可以通过大、小主应力之间的关系确定炉渣的抗剪强度参数。宋丹青等[5]研究了含水率对生活垃圾炉渣强度的影响,发现炉渣在最优含水率附近具有最大抗剪强度。张远博等[6]采用离散元软件PFC3D对垃圾炉渣的力学性质进行了模拟,分析了其应力一应变关系,探讨了边界刚度对剪切强度参数和压缩模量的影响,为炉渣的研究提供了一种新思路。

目前针对炉渣力学性能方面的研究多侧重于原材料、颗粒级配、应力状态等因素对其强度与变形特性的影响。而实际上粗粒料的力学响应不仅取决于应力状态,还与密实程度有关,因此本文主要分析干密度对炉渣强度及变形特性的影响。

#### 1试验方案

# 1.1试验材料

试验用炉渣取自江苏省南通市垃圾焚烧厂,原状炉渣呈灰色颗粒状,形状各异,通过筛分试验,得到如图1所示的颗粒级配曲线。粒径大于1mm的粗粒约占60%,不均匀系数为21,级配良好。炉渣矿物成分主要为石英、石膏、方解石、微斜长石以及磁铁矿,其中石英

含量46%。炉渣中主要氧化物为CaO,  $SiO_2$ ,  $Fe_2O_3$ ,  $SO_3$ , 含量高达70%, 见表1。

链接:www.china-nengyuan.com/tech/177208.html

来源:铁道建筑

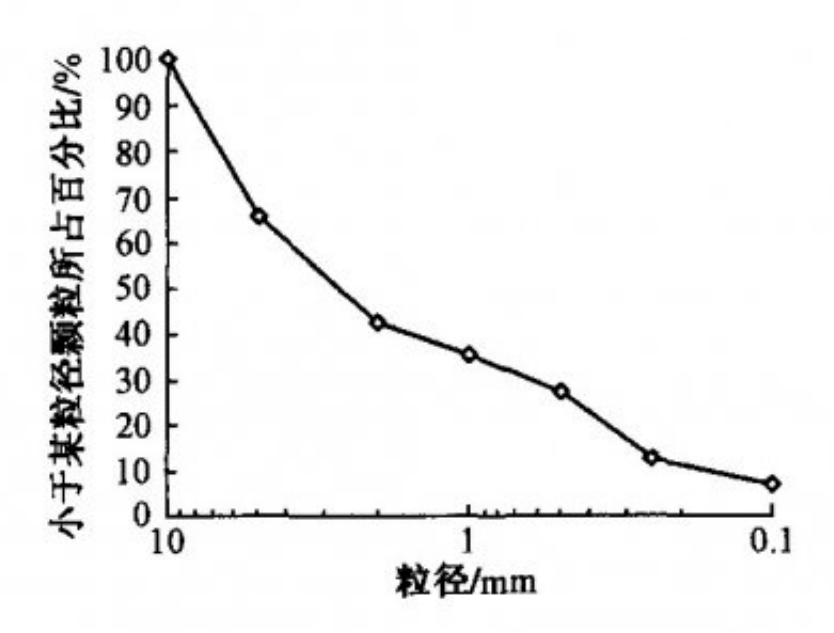


图 1 炉渣颗粒级配曲线

表 1 炉渣中氧化物

CaO	$SiO_2$	$Fe_2O_3$	SO <sub>3</sub>	$Al_2O_3$	K <sub>2</sub> O	MgO	$TiO_2$	LOI
27. 32	25. 50	9. 79	6. 22	4. 90	4. 24	1.71	1. 23	13.04

# 1.2试验方法

将粒径小于2mm的炉渣加水拌合至含水率为22%,塑料袋密封12h。根据不同干密度称取相应质量的炉渣,在试样模中分5层击实,试样高度80mm,直径39.2mm。文献[2]提出炉渣三轴试验剪切速率最好控制在0.009~0.144mm/min,本试验剪切速率控制在0.055mm/mi

n。本文在3种干密度(0.9, 1.0, 1.1g/cm³

)下开展三轴固结排水试验,每一种干密度下进行3组试验,围压分别为50,100,200kPa。

#### 2试验结果与分析

#### 2.1应力-应变关系

参考临界状态土力学,三轴试验中当应变超过20%时,试样的应力分布已经不均匀,应力一应变曲线关系出现失真,因此本文取炉渣应变20%段进行分析。炉渣的应力一应变曲线见图2。图中纵坐标为大、小主应力差 1- 3,横坐标为竖向应变 a。在低围压(50,100kPa)下炉渣应力一应变曲线大多呈应变软化型,有明显的峰值强度,而在高围压下(200kPa)应力.应变曲线呈硬化型。松散炉渣应力.应变曲线呈现硬化特性,紧密炉渣应力-应变曲线软化特征明显。炉渣应力一应变曲线特性由围压和干密度共同决定,紧密炉渣在高围压下也可能出现应变硬化。

链接:www.china-nengyuan.com/tech/177208.html

来源:铁道建筑

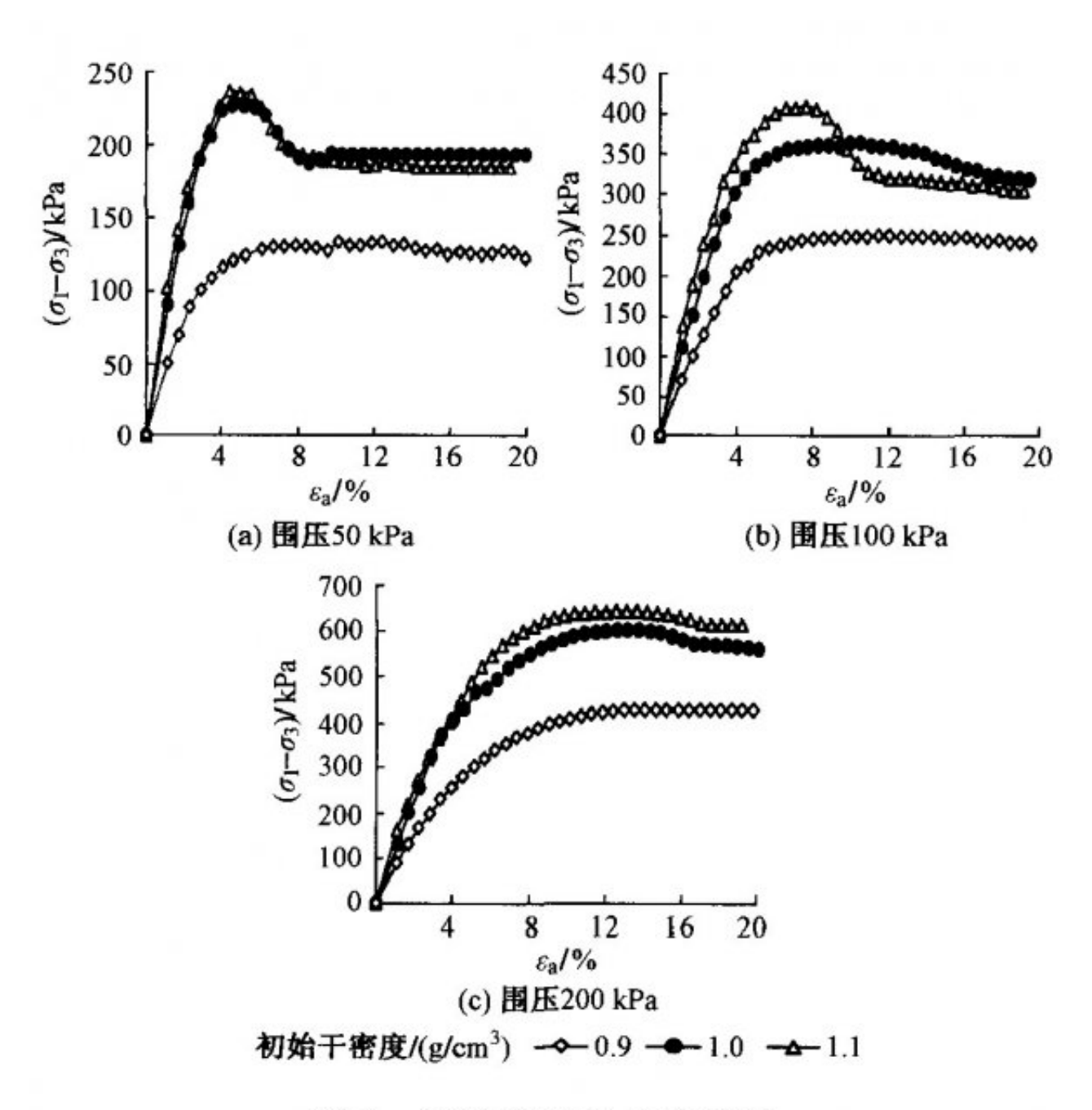


图 2 炉渣的应力-应变曲线

# 2.2峰值强度

不同围岩下炉渣的峰值强度( 1- 3)max随干密度 d变化曲线见图3。可见:随着干密度的增加,峰值强度也随之增大,但其增长幅度明显减小。在低围压下峰值强度相对较小,且其增长幅度明显比高围压时低。如围压200kPa时干密度由0.9g/cm³增加到1.0g/cm³

,峰值强度增加了176kPa,而围压50kPa时仅增加了76kPa。这主要是因为相同围压下干密度越大颗粒之间孔隙越小,排列越紧密,嵌入咬合作用越明显,在剪切变形过程中能承受较大的应力,峰值强度高;初始干密度一定时,围压越大试样压缩变形越大,相对密实度提高导致强度明显增大。因此,炉渣的峰值强度不仅与围压有关,还与干密度紧密相关。

链接:www.china-nengyuan.com/tech/177208.html

来源:铁道建筑

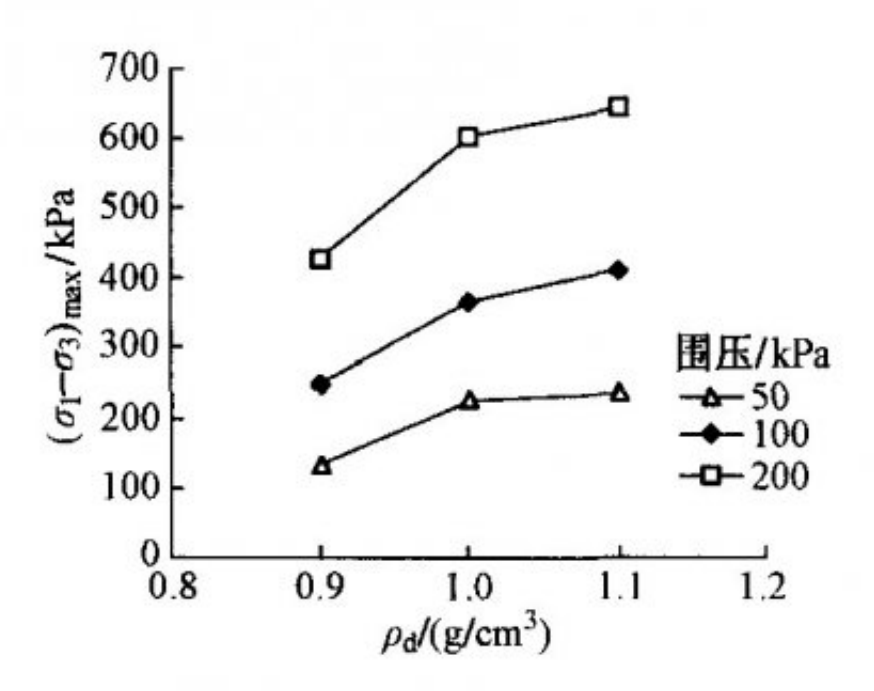


图 3 不同围岩下炉渣的峰值强度随干密度变化曲线

## 2.3初始弹性模量

不同围压下炉渣的初始弹性模量E1随干密度 d变化曲线见图4。可见:初始弹性模量随着干密度的增大而增大,如围压50kPa、干密度由0.9g/cm³增至1.0g/cm³

时,初始弹性模量从62kPa增至114kPa,增幅84%。同时,围压越大初始弹性模量亦越大,但其影响远小于干密度,如干密度为0.9g / cm<sup>3</sup>

,围压从50kPa提高到100kPa时,初始弹性模量从62kPa提高到74kPa,增幅仅19%。这主要是因为干密度越大颗粒排列越紧密,剪切过程中竖向能承受较大荷载,而围压对于初始弹性模量的作用未充分发挥出来,干密度起主要作用。在相同荷载作用下初始弹性模量越大变形越小,因此采用炉渣填筑路基时可以提高干密度,增大初始弹性模量,从而减小路基变形。

链接:www.china-nengyuan.com/tech/177208.html

来源:铁道建筑

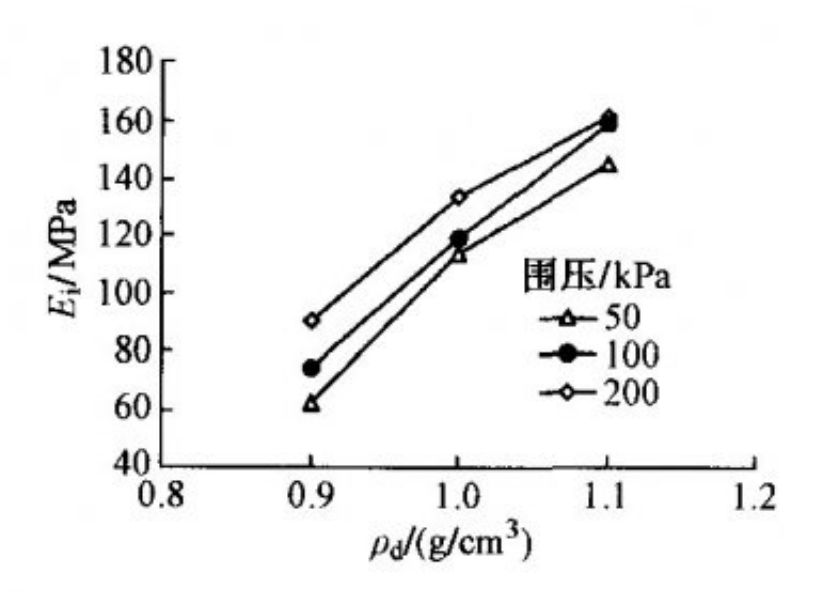


图 4 不同围压下炉渣的初始弹性模量随于密度变化曲线 2.4抗剪强度

根据摩尔-库仑定律可以得到抗剪强度表达式。

根据摩尔-库仑定律可以得到抗剪强度表达式。

$$\frac{\sigma_1 - \sigma_3}{2} = \frac{\sigma_1 + \sigma_3}{2} \sin \phi + c \cdot \cos \phi$$

式中:c 为黏聚力; 为内摩擦角。

若纵坐标  $t=(\sigma_1-\sigma_3)/2$ , 横坐标  $s=(\sigma_1+\sigma_3)/2$ , 对不同围压下求得的  $\sigma_1$ ,  $\sigma_3$  进行拟合,则拟合直线的斜率为  $\sin\phi$ ,与纵坐标的截距为  $c \cdot \cos\phi$ 。

干密度为0.9g/cm<sup>3</sup>

时炉渣的抗剪强度可由图5确定。同样方法可求得其他2种干密度下炉渣的抗剪强度,结果见表2。可见:随着干密度的增加,黏聚力和内摩擦角均增大。这是因为炉渣干密度越大孔隙比越小,固体颗粒之间的胶结咬合作用越强,致使黏聚力和内摩擦角提高。

链接:www.china-nengyuan.com/tech/177208.html

来源:铁道建筑

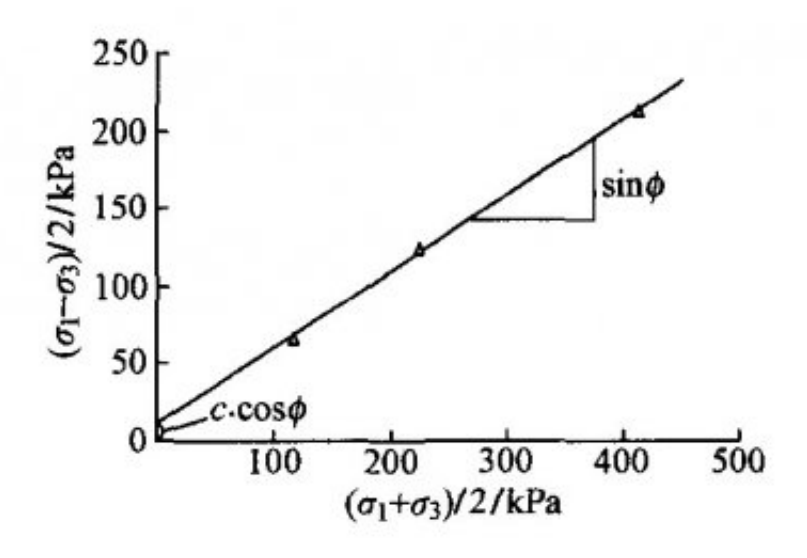


图 5 干密度 0.9 g/cm3 时炉渣的抗剪强度确定

表 2 不同干密度下炉渣的抗剪强度

干密度/ (g/cm³)	抗剪强度表达式	黏聚力/ kPa	内摩擦角/ (°)	
0. 9	t=0.491 3s+11.299	12. 97	29. 43	
1.0	t = 0.554 3s + 24.147	29. 01	33.66	
1. 1	t = 0.572 8s + 25.089	30. 61	34. 95	

#### 3结论

本文对不同干密度的炉渣进行了三轴固结排水试验,得到如下结论:

- 1)生活垃圾炉渣的力学特性不仅与其应力状态有关,还与干密度密切相关。
- 2)松散炉渣应力-应变曲线呈现硬化特性,紧密炉渣应力-应变曲线软化特征明显。
- 3)初始弹性模量随着干密度的提高而增大,用炉渣路基填筑时可以适当提高干密度以减小变形。
- 4)随着干密度的增大,炉渣的黏聚力和内摩擦角也有所提高,但变化幅度较小。



链接:www.china-nengyuan.com/tech/177208.html

来源:铁道建筑

# 参考文献

- [1] XIE R F, XU Y F, HUANG M, et al. Assessment of Municipal Solid Waste Incineration Bottom Ash as a Potential Road Material [J]. Road Materials and Pavement Design, 2017, 18 (4):992-998.
- [2] LE N H, ABRIAK N E, BINETRUY C, et al. Mechanical Behavior of Municipal Solid Waste Incinerator Bottom Ash: Results from Triaxial Tests [J]. Waste Management, 2017, 65:37-46.
- [3]冯兴波,徐永福.城市垃圾炉渣试样的无侧限抗压强度试验研究[J].中外公路,2017,37(3):192-195.
- [4]徐永福.生活垃圾焚烧炉渣在饱和状态下的强度特性[J]. 工程地质学报,2017,25(2):277-283.
- [5]宋丹青,宋宏全,项国圣,等.含水率对生活垃圾炉渣强度特性的影响[J].湖南大学学报(自然科学版),2017,44(1): 150-156.
- [6]张远博,冯兴波,徐永福.垃圾炉渣力学性质的颗粒流模拟[J].科学技术与工程,2017,17(19):72-77.
- [7]姜景山,程展林,左永振,等.干密度对粗料力学特性的影响 [J].岩土力学,2018,39(2):1-9.

原文地址: http://www.china-nengyuan.com/tech/177208.html